

---

## ЭКСПЕРИМЕНТАЛЬНЫЕ СТАТЬИ

---

УДК 581.1

### ФЛАВОНОИДНЫЕ ГЛИКОЗИДЫ В ЛИСТЬЯХ РАСТЕНИЙ РОДА *Nigella* L.

© 2023 г. С. Н. Шиш<sup>a</sup>, \*, П. С. Шабуня<sup>b</sup>, С. А. Фатыхова<sup>b</sup>,  
В. Н. Решетников<sup>a</sup>, Е. В. Спиридович<sup>a</sup>, \*\*

<sup>a</sup>Центральный ботанический сад Национальной академии наук Беларусь, Минск, Республика Беларусь

<sup>b</sup>Государственное научное учреждение “Институт биоорганической химии Национальной академии наук Беларусь”, Минск, Республика Беларусь

\*e-mail: svetlana.shysh@gmail.com

\*\*e-mail: a.spirydovich@gmail.com

Поступила в редакцию 18.09.2023 г.

После доработки 08.11.2023 г.

Принята к публикации 09.11.2023 г.

Фенольные соединения у растений рода *Nigella* представлены различными группами флавоноидов, галлокатехинами, производными коричной и кофейной кислот. Определяли содержание флавоноидных гликозидов в листьях чернушки дамасской (*Nigella damascena* L.), чернушки посевной (*N. sativa* L.) и чернушки восточной (*N. orientalis* L.) методом ВЭЖХ-МС. Установлена видоспецифическая зависимость накопления флавоноидных гликозидов. Показано, что основными флавоноидаами в листьях исследованных объектах являлись гликозиды кверцетина и кемпферола, при этом гликозидов кверцетина в изучаемых экстрактах было в 1.40–1.97 раза больше, чем кемпферола. Листья *N. sativa* имели повышенный состав флавоноидных гликозидов по отношению к другим изучаемым видам. Качественный состав флавоноидных гликозидов *N. damascene* был подобен *N. sativa*, тогда как по общему содержанию этой группы соединений он близок к *N. orientalis*. Суммарное количество флавоноидных гликозидов в экстрактах листьев *N. sativa* было в 4 раза выше, чем в экстрактах других видов чернушки. Стоит отметить, что виды *N. sativa* и *N. damascene* имеют наибольшее фенотипическое сходство и более устойчивы к условиям произрастания в Беларусь, в то время как вид *N. orientalis* отличается внешне и более требователен к условиям культивирования. Было установлено, что в листьях *N. orientalis* разнообразие флавоноидных гликозидов меньше, при отсутствии высокомолекулярных и ацилированных форм. Возможно отсутствие ацилированных производных и меньшее разнообразие флавоноидных гликозидов оказывается на низкой устойчивости *N. orientalis* к абиотическим факторам и снижает его адаптационный потенциал.

**Ключевые слова:** *Nigella damascena* L., *Nigella orientalis* L., *Nigella sativa* L., гликозиды, листья, флавоноиды

**DOI:** 10.31857/S001533032360078X, **EDN:** ZQOXKH

#### ВВЕДЕНИЕ

Растения рода чернушка (*Nigella* L.) характеризуются синтезом разнообразных биологически активных соединений, относящихся к различным химическим классам: летучие соединения терпеноевой природы, сапонины, алкалоиды, жирные кислоты, фенольные кислоты и флавоноиды. Род чернушка насчитывает более 20 видов, но наибольшее внимание привлекают чернушка дамасская (*Nigella damascena* L.), чернушка посевная (*N. sativa* L.) и чернушка восточная (*N. orientalis* L.).

Семена *N. sativa* известны в мире под названием черный тмин. Они обладают перечным вкусом и мускатным запахом благодаря наличию эфирных масел и тимохинона, и широко используются в народной медицине [1].

*N. damascena* родом из Северной Африки. В настоящее время ее выращивают в Европе, Ма-

лой Азии и Индии как декоративное и пряно-ароматическое растение [2, 3]. Семена чернушки дамасской отличаются сильным ароматом с оттенком земляники и широко применяются в Юго-Восточной Азии в качестве пряности [4], надземная биомасса (верхушки генеративных побегов, листья, цветки и семена) являются сырьем для пищевой и фармацевтической промышленности [5].

*N. orientalis* произрастает в Малой Азии и на Кавказе, встречаясь там в посевах и по горным склонам [6]. Используется как декоративное растение в мавританских газонах, цветниках, для срезки в букеты и как флористический материал для летне-осенних и зимних композиций [7–9].

Фитохимический состав семян *N. sativa* довольно разнообразен и широко изучен [10–13], в то время как другая надземная часть растения ис-

следуется не так часто. Учеными биотехнологического центра Туниса был установлен качественный состав фенольных соединений чернушки посевной, который включал фенольные кислоты (галловую, *p*-гидроксибензойную, хлорогеновую и др.) и флавоноиды (эпикатехин, кверцетин, апигенин и др.) [5].

У *N. damascena* подробно определен качественный и количественный состав полифенолов семян и проведено его сравнение с таковым семян чернушки посевной [4]. Отмечена схожесть качественного состава соединений фенольной природы у двух видов чернушки: основными соединениями являются гидроксибензойная и кофейная кислоты. Также обнаружены ванилиновая, сиреневая, галловая, *p*-кумаровая кислоты, катехин и отмечены незначительные количества коричной кислоты и кверцетина. Несмотря на идентичность качественного состава фенольных соединений семян чернушки посевной и дамасской авторы указали на количественные различия в биосинтезе отдельных соединений.

У *N. orientalis* достаточно хорошо изучены эфирные масла семян [7–9], в то время как экстракты листьев – недостаточно.

Учитывая литературные данные и результаты наших исследований по содержанию фенольных соединений в семенах растений рода *Nigella*, был проведен скрининг общего пула фенольных соединений в листьях и траве [14]. Было установлено, что листья разных видов чернушки содержали от 1.16 до 1.77 г/100 г сухого веса фенольных соединений, в то время как семена – от 0.55 до 1.26 г/100 г сухого веса. Относительно высокое содержание фенольных соединений в листьях позволяет предложить их использование в качестве источника биологически активных веществ. В связи с этим, актуально было проведение сравнительного анализа качественного и количественного состава фенольных соединений в листьях разных видов чернушки, и установление взаимосвязи между характером их ростовых процессов и накоплением флавоноидных гликозидов.

Целью данной работы было изучение группы флавоноидных гликозидов в листьях растений рода *Nigella*, выращенных в условиях Центральной Беларуси. Мы полагаем, что определение качественного и количественного состава флавоноидных гликозидов и установление наличия видоспецифических зависимостей накопления этих веществ позволит установить взаимосвязь между содержанием отдельных флавоноидных гликозидов и особенностями ростовых процессов у разных видов чернушки.

## МАТЕРИАЛЫ И МЕТОДЫ

Объектами исследования служили растения трех видов: чернушка дамасская (*Nigella damascena* L.), чернушка восточная (*N. orientalis* L.) и чернушка посевная (*N. sativa* L.), выращенные на экспериментальном участке лаборатории прикладной биохимии Центрального ботанического сада Национальной академии наук Беларусь. Для количественного и качественного определения состава флавоноидных гликозидов использовали листья, собранные в фазу цветения, и высушенные до воздушно-сухого состояния. Растения выращивали в условиях мелкоделяночного полевого опыта рядовым способом, в одинаковых условиях по увлажнению, составу почвы и агротехническим мероприятиям. Экспериментальная выборка состояла из 100 растений, с каждого растения были взяты по 2 листа, высушенны и гомогенизированы, полученный порошок использован для экстракции.

**Получение экстрактов для анализа.** Для экстракции использовали воздушно-сухое измельченное сырье, масса навески 2 г (точная навеска). Соотношение образца и экстрагента (г/мл) составляло 1 : 80. Экстракцию образцов проводили двумя способами. Первый способ включал двухступенчатую (по 40 мин) экстракцию 70% этанолом на водяной бане при 80°C, тогда как второй – экстракцию 2M HCl и 96% этанолом (соотношение 1 : 1) на водяной бане при 80°C в течение 120 мин.

По первому способу – полученные экстракты фильтровали через бумажный фильтр. Аликовты (1 мл) экстрактов без гидролиза фильтровали через шприцевой мембранный фильтр в хроматографические виалы и использовали для ВЭЖХ-МС анализа.

По второму способу – экстракты после кислотного гидролиза дополнительно гидролизовали при следующих условиях: 800 мкл образцов с HCl + 200 мкл конц. HCl (конечная концентрация в растворе около 3 M), затем инкубировали 2 ч в плотно закрытой хроматографической виале при температуре 98°C.

**Описание ВЭЖХ-МС метода анализа.** Для идентификации и количественного анализа фенольных соединений использовали метод ВЭЖХ с масс-спектрометрическим и УФ-детектором. Разделение компонентов проб проводили на колонке Agilent Zorbax XDB C18 (4.6 × 150 мм, 5.0 мкм) при температуре 40°C на жидкостном хроматографе Agilent 1200 (Agilent Technologies Inc., USA). Подвижная фаза состояла из двух растворителей: A – 0.1% муравьиная кислота (об/об) в воде и B – 0.1% муравьиная кислота (об/об) в ацетонитриле. Для анализа негидролизованных образцов использовали следующий градиент режима элюирования: процент растворителя B в подвижной фазе увеличивался от 5 до 25% за 20 мин, затем за следующие 10 мин – до 40%, а в 35 мин составлял 90%. Для гидролизованных образцов процентный состав растворителей в по-

**Таблица 1.** Содержание кверцетина и кемпферола в экстрактах листьев различных видов чернушки после кислотного гидролиза

| Агликон   | Содержание, г/100 г сухого веса |                     |                      |
|-----------|---------------------------------|---------------------|----------------------|
|           | <i>N. sativa</i>                | <i>N. damascena</i> | <i>N. orientalis</i> |
| Кверцетин | 0.055* ± 0.001                  | 0.043* ± 0.0008     | 0.057* ± 0.001       |
| Кемпферол | 0.039* ± 0.0007                 | 0.027* ± 0.0006     | 0.029* ± 0.001       |

Примечание. Приведены средние значения для 3 биологических повторностей. Звездочка “\*” означает, что значения достоверно отличаются при  $P \leq 0.05$ .

движной фазе изменялся за первые 10 мин от 5 до 25% растворителя В, увеличивался до 40% за 5 мин и оставался таким же в следующие 3 мин, в 25 мин составил 90%. Скорость потока элюента – 0.5 мл/мин. Детекция велась при длине волны 270 нм. Объем инжекции – 10 мкл (для количественного анализа) и 20 мкл (для качественного анализа). Температура в автосамплере 15°C. Хроматограф был онлайн сопряжен с tandemным масс-спектрометром Agilent 6410 Triple Quad (тройной квадруполь) (Agilent Technologies Inc., USA). В качестве интерфейса ионизации электрораспылением использовался Agilent G1948B API-ES (Agilent Technologies Inc., USA) в режиме отрицательных и положительных ионов. Для идентификации использовали режимы общего сканирования ионов в диапазоне масс от 100 до 1500 Д (MS2 Scan) и получения дочерних ионов (Product ion) из ионов с  $m/z$ , соответствующим  $[M + H]^+$  для молекулярных масс соединений в изучаемых экстрактах. Энергия в ячейке соударений при получении дочерних ионов варьировала от 15 до 45 В. Параметры работы масс-детектора: температура осушающего газа 350°C, скорость потока осушающего газа 7 л/мин, давление на распылителе 40 psi, напряжение на капилляре 4000 В, напряжение на фрагменторе 135 В (положительные ионы) и 200, 220 В (отрицательные ионы). Обработку хроматограмм с УФ- и масс-детекторов проводили с использованием компьютерного обеспечения Agilent MassHunter Workstation Software version B.01.03 и Agilent ChemStation (Agilent Technologies Inc., USA).

Растворы стандартов кемпферола ( $\geq 97\%$ , Sigma), кверцетин дигидрат ( $\geq 99\%$  HPLC, Extrasynthese) готовили в концентрациях 0.3–0.4 мг/мл в метаноле. Растворы для калибровочной кривой был в диапазоне концентраций от 7.5 до 150 мкг/мл. Для количественного анализа агликонов в образцах после гидролиза и фенольных соединений в негидролизованных образцах использовали хроматограммы с УФ-детектора. Содержание кемпферола и кверцетина рассчитывали по калибровочной кривой для соответствующих стандартов, флавонOIDНЫЕ гликозиды – по калибровочной кривой для кверцетина.

Математическую обработку данных проводили с помощью пакета программ Microsoft Excel.

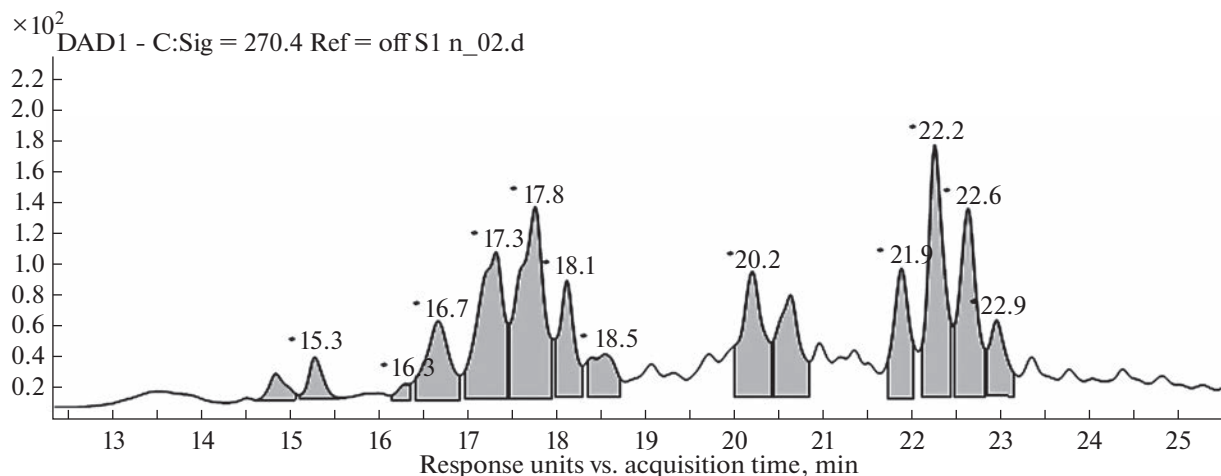
Проверка гипотезы о равенстве двух средних проводилась с помощью  $t$ -критерия Стьюдента. Результаты представлены в виде средних значений 3 биологических повторностей и их стандартных ошибок.

## РЕЗУЛЬТАТЫ И ОБСУЖДЕНИЕ

Фенольные соединения у растений рода *Nigella* представлены различными группами флавоноидов, галлокатехинами, производными коричной и кофейной кислот. При этом для *N. sativa* и *N. glandulifera* было отмечено присутствие разнообразных по составу и строению гликозидов кверцетина и кемпферола в экстрактах семян и надземных частей растения [5, 11, 15–18]. ВЭЖХ-МС анализ метанольных экстрактов листьев чернушки трех изучаемых видов позволил предварительно идентифицировать гликозиды кверцетина и кемпферола. Для подтверждения наличия в составе гликозидов именно этих агликонов был проведен кислотный гидролиз и последующий ВЭЖХ-МС анализ. Кемпферол и кверцетин в гидролизованных образцах были идентифицированы путем сравнения со стандартами этих веществ (времена выхода и масс-спектры), их количественная оценка в экстрактах представлена в табл. 1.

На рис. 1 представлена хроматограмма с УФ-детектора при  $\lambda = 270$  нм для негидролизованного экстракта чернушки посевной (пронтигрированы пики основных флавоноидных гликозидов). Анализ масс-спектров в пиках на хроматограммах общего ионного тока в режиме генерации отрицательных и положительных ионов позволил предположить возможные молекулярные массы (мол. м.) и фрагменты основных соединений (табл. 2, 3).

Пики, приведенные в табл. 2, с временами удерживания (RT – retention times) 14.8, 15.3, 16.3, 16.7, 20.2 и 20.6 мин характеризуются одинаковой мол. м. 950 Д. В режиме генерации отрицательных ионов в масс-спектрах этих пиков были найдены ионы с  $m/z$  949 =  $[M - H]^-$ , в режиме положительных ионов  $-m/z$  973 =  $[M + Na]^+$ ,  $m/z$  789 =  $[M + H - 162]^+$ ,  $m/z$  303 =  $[M + H - 162 - 162 - 162 - 162]^+$  (табл. 3). Потеря фрагмента 162 Д характерна при отщеплении

Рис. 1. УФ-хроматограмма экстракта листьев *Nigella sativa* L.

дегидратированной гексозы. Масс-спектр дочерних ионов при положительной ионизации содержал следующие ионы:  $m/z$  627 = [M + H-162-162]<sup>+</sup>,  $m/z$  465 = [M + H-162-162-162]<sup>+</sup>,  $m/z$  303 = [M + H-162-162-162-162]<sup>+</sup>. Фрагмент с величиной  $m/z$  303 соответствовал остатку агликона кверцетина, что было дополнительно подтверждено обнаружением кверцетина в гидролизованных об-

разцах. Присутствующие в масс-спектрах ионы с  $m/z$  325 = [162 + 162 + H]<sup>+</sup> и  $m/z$  163 = [162 + H]<sup>+</sup> представляли собой появляющиеся при ионизации комбинации сахаров, входящих в состав гликозида. Таким образом, эти соединения являются гликозидами кверцетина и 4 гексоз.

Пики с временами удерживания 17.3, 17.8 и 18.1 мин соответствовали веществам с одинаковой

Таблица 2. Флавоноидные гликозиды в экстракте листьев *Nigella sativa* L.

| RT, мин | Предполагаемая структура вещества  | мол. м., Д | Содержание, г/100 г сухого веса |
|---------|--|------------|---------------------------------|
| 14.8    | Гликозид кверцетина и 4 гексоз   | 950        | 0.08 ± 0.008                    |
| 15.3    | Гликозид кверцетина и 4 гексоз   | 950        | 0.03 ± 0.002                    |
| 16.3    | Гликозид кверцетина и 4 гексоз   | 950        | 0.18 ± 0.002                    |
| 16.7    | Гликозид кверцетина и 4 гексоз   | 950        | 0.34 ± 0.01                     |
| 17.3    | Гликозид кверцетина и 3 гексоз   | 788        | 0.41 ± 0.01                     |
| 17.8    | Гликозид кверцетина и 3 гексоз   | 788        | 0.17 ± 0.003                    |
| 18.1    | Гликозид кверцетина и 3 гексоз   | 788        | 1.25 ± 0.006                    |
| 18.5    | Гликозид кемпферола и 3 гексоз   | 772        | 0.29 ± 0.003                    |
| 20.2    | Гликозид кверцетина и 4 гексоз   | 950        | 0.21 ± 0.003                    |
| 20.6    | Гликозид кверцетина и 4 гексоз   | 950        | 0.20 ± 0.006                    |
| 21.9    | Гликозид кверцетина и 3 гексоз и рамнозы   | 934        | 0.21 ± 0.003                    |
| 22.3    | Гликозид кверцетина и 3 гексоз и рамнозы<br>Гликозид кверцетина, 3 гексоз и глюкуроновой или феруловой кислоты | 934<br>964 | 0.35 ± 0.005                    |
| 22.6    | Ацилированный синаповой кислотой гликозид кверцетина и 3 гексоз  | 994        | 0.28 ± 0.009                    |
| 22.6    | Гликозид кверцетина, 3 гексоз и рамнозы  | 934        |                                 |
| 22.6    | Гликозид кверцетина, 3 гексоз и глюкуроновой или феруловой кислоты   | 964        |                                 |
| 22.9    | Ацилированный синаповой кислотой гликозид кверцетина и 3 гексоз  | 994        |                                 |
| 22.9    | Гликозид кверцетина, 3 гексоз и глюкуроновой или феруловой кислоты   | 964        | 0.02 ± 0.001                    |
|         | Сумма  |            | 4.02                            |

Примечание. Приведены средние значения для 3 биологических повторностей при уровне значимости  $P \leq 0.05$ .

**Таблица 3.** Масс-спектрометрическая характеристика основных флавоноидных гликозидов

| Название   | мол.<br>м., Д | Основные $m/z$ в пике |   |
|--|---------------|-----------------------|---|
|  |               | ESI Negative          | ESI Positive  |
| Гликозид кемпферола и 2 гексоз                                     | 610           | 609, 483              | 633, 449, 287   |
| Гликозид кверцетина и 2 гексоз                                     | 626           | 625, 300              | 649, 627, 465, 303, 163, 145                            |
| Гликозид кверцетина  | 712           | 667, 689, 300         | 713, 735, 303   |
| Гликозид кемпферола и 3 гексоз                                     | 772           | 771                   | 795, 450, 287, 163                                      |
| Гликозид кверцетина, 2 гексоз и рамнозы                            | 772           | 771, 300              | 773, 795, 303   |
| Гликозид кверцетина и 3 гексоз                                     | 788           | 787, 625              | 789, 811, 465, 325, 303, 163                            |
| Гликозид кверцетина, 3 гексоз и малоновой кислоты                  | 874           | 873                   | 875, 713, 465, 303                                      |
| Гликозид кверцетина, 3 гексоз и рамнозы                            | 934           | 933, 301, 271         | 957, 465, 309, 303, 163, 147                            |
| Гликозид кверцетина и 4 гексоз                                     | 950           | 949                   | 973, 789, 465, 325, 303, 163                            |
| Гликозид кверцетина, 3 гексоз и глюкуроновой или феруловой кислоты | 964           | 963                   | 987, 501, 465, 339, 303, 177                            |
| Ацилированный синаповой кислотой гликозид кверцетина и 3 гексоз    | 994           | 993                   | 844, 531, 465, 369, 303, 207                            |
| Гликозид кверцетина, 3 гексоз и 2 рамноз                           | 1080          | 1079, 300             | 1081, 449, 309, 303                                     |
| Гликозид кверцетина, 4 гексоз и рамнозы                            | 1096          | 1095, 300             | 1119, 1097, 949, 633, 471, 465, 309, 303, 301, 165, 147 |
| Гликозид кверцетина, 4 гексоз и феруловой или глюкуроновой кислоты | 1126          | 1125                  | 1127, 1149, 303, 465                                    |

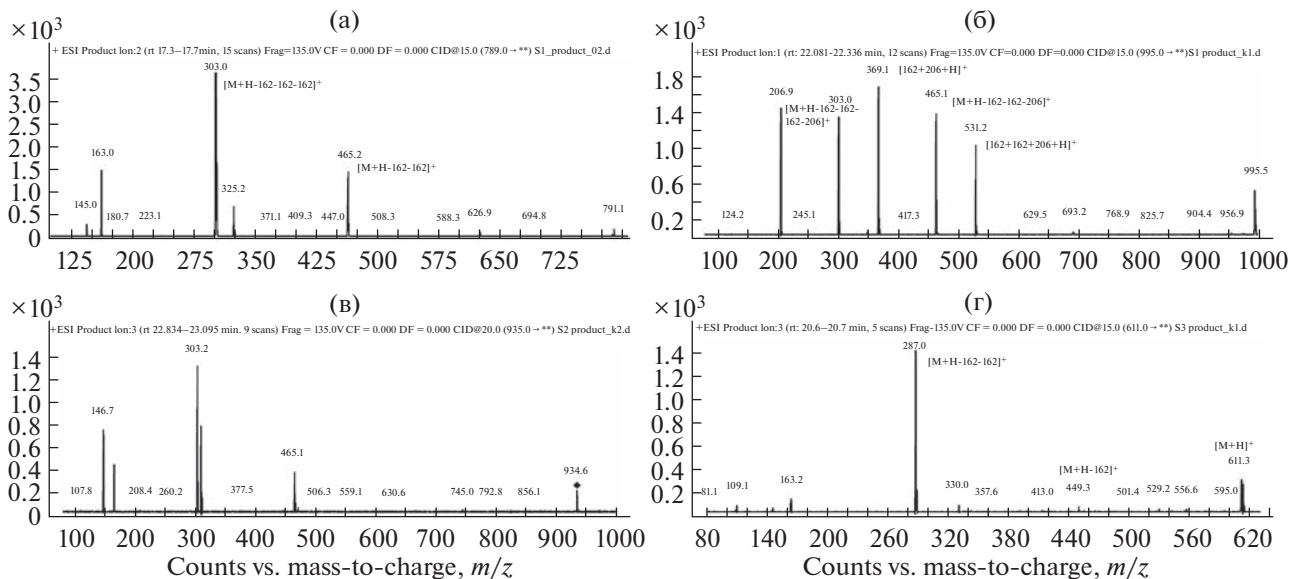
мол. м. 788 Д. В масс-спектрах этих соединений, полученных при отрицательной ионизации, присутствовали ионы с  $m/z$  787 = [M-H]<sup>-</sup>,  $m/z$  625 = [M-H-162]<sup>-</sup>, в режиме положительных ионов –  $m/z$  811 = [M + Na]<sup>+</sup>,  $m/z$  789 = [M + H]<sup>+</sup>,  $m/z$  303 = [M + H-162-162-162]<sup>+</sup>. Масс-спектр дочерних ионов при положительной ионизации содержал следующие ионы:  $m/z$  627 = [M + H-162]<sup>+</sup>,  $m/z$  465 = [M + H-162-162]<sup>+</sup>,  $m/z$  303 = [M + H-162-162-162]<sup>+</sup> (рис. 2а). Учитывая характерную фрагментацию с отщеплением фрагмента с мол. м. 162 Д и наличие иона агликона (мол. м. 303 Д), можно предположить, что эти соединения представляют собой гликозиды кверцетина и трех гексоз.

Пик с RT 18.5 мин содержал вещество с мол. м. 772 Д, что подтверждается наблюдаемыми в масс-спектрах ионами с  $m/z$  771 = [M-H]<sup>-</sup> (отрицательная ионизация) и  $m/z$  795 = [M + Na]<sup>+</sup> (положительная ионизация). Масс-спектр дочерних ионов в положительной ионизации содержал следующие ионы:  $m/z$  449 = [M + H-162-162]<sup>+</sup>,  $m/z$  287 = [M + H-162-162-162]<sup>+</sup>. Фрагмент с величиной  $m/z$  287 соответствовал остатку агликона кемпферола, что было дополнительно подтверждено его обнаружением в гидролизованных образцах. Таким образом, это соединение – гликозид кемпферола и трех гексоз (табл. 2).

Пики с временами удерживания 21.9, 22.3 и 22.6 мин соответствовали соединениям с одинаковой мол. м. 934 Д. В режиме отрицательных

ионов были получены ионы с  $m/z$  933 = [M-H]<sup>-</sup>, в режиме положительных ионов –  $m/z$  957 = [M + Na]<sup>+</sup>,  $m/z$  303 = [M + H-162-162-162-146]<sup>+</sup>. Масс-спектр дочерних ионов в положительной ионизации содержал следующие ионы:  $m/z$  465 = [M + H-162-162-146]<sup>+</sup> и  $m/z$  303 = [M + H-162-162-162-146]<sup>+</sup>. Потеря фрагмента 162 Д характерна при отщеплении дегидратированной гексозы. Фрагмент молекулы с нейтральной потерей 146 Д может образовываться при отщеплении рамнозы (-H<sub>2</sub>O). Ионы с  $m/z$  309 = [146 + 162 + H]<sup>+</sup>,  $m/z$  325 = [162 + 162 + H]<sup>+</sup>,  $m/z$  163 = [162 + H]<sup>+</sup>,  $m/z$  147 = [146 + H]<sup>+</sup> представляют собой появляющиеся при ионизации комбинации сахаров, входящих в состав гликозида (табл. 3). Учитывая характерную фрагментацию с отщеплением фрагмента с мол. м. 162 Д и 146 Д и наличие иона агликона (303 Д), можно предположить, что эти соединения представляют собой гликозиды кверцетина, трех гексоз и одной рамнозы.

Надо отметить, что пики с временами удерживания 22.3 и 22.6 мин являются смесью не разделившихся веществ, поэтому, помимо соединений с мол. м. 934 Д в этих же пиках присутствуют вещества с мол. м. 964 Д, которые есть и в пике с RT 22.9 мин. В режиме отрицательных ионов в масс-спектрах этих соединений обнаружены ионы с  $m/z$  963 = [M-H]<sup>-</sup>, в режиме положительных ионов –  $m/z$  987 = [M + Na]<sup>+</sup>,  $m/z$  303 = [M + H-162-162-162-176]<sup>+</sup>. Масс-спектр дочерних ионов в



**Рис. 2.** Масс-спектры в режиме получения дочерних ионов: а – из  $m/z$  789 для *Nigella sativa*; б – из  $m/z$  995 для *Nigella sativa*; в – из  $m/z$  935 для *N. damascene*; г – из  $m/z$  611 для *N. orientalis*.

положительной ионизации содержал следующие ионы:  $m/z$  465 =  $[M + H-162-162-176]^+$  и  $m/z$  303 =  $[M + H-162-162-162-176]^+$ . Потеря фрагмента 176 Д может происходить при отщеплении либо остатка феруловой ( $-H_2O$ ), либо остатка глюкуроновой кислоты ( $-H_2O$ ). Агликон соответствует кверцетину ( $m/z$  303). Ионы с  $m/z$  339 =  $[176 + 162 + H]^+$ ,  $m/z$  501 =  $[162 + 162 + 176 + H]^+$ ;  $m/z$  177 =  $[176 + H]^+$  представляют собой появляющиеся при ионизации комбинации остатков сахаров и кислот, входящих в состав гликозида. Поэтому можно предположить, что эти соединения – гликозиды кверцетина, трех гексоз и одной молекулы феруловой или глюкуроновой кислоты. Также в пиках с временами удерживания 22.3 и 22.6 мин присутствовали вещества с мол. м. 994 Д, что подтверждается наличием ионов с  $m/z$  993 =  $[M-H]^-$  (отрицательная ионизация) и  $m/z$  303 =  $[M + H-162-162-162-206]^+$  (положительная ионизация). Масс-спектр дочерних ионов в положительной ионизации содержал следующие ионы:  $m/z$  465 =  $[M + H-162-162-206]^+$ ,  $m/z$  303 =  $[M + H-162-162-162-206]^+$  (рис. 2б). Агликон соответствует кверцетину ( $m/z$  303). Ионы с  $m/z$  369 =  $[162 + 206 + H]^+$ ,  $m/z$  531 =  $[162 + 162 + 206 + H]^+$ ,  $m/z$  207 =  $[206 + H]^+$  представляют собой появляющиеся при ионизации комбинации сахаров, входящих в состав гликозида (табл. 3). Полученные результаты согласуются с работой исследователей Технического университета в Лиссабоне [19]. Потеря фрагмента с  $m/z$  206 соответствует ацильной группе, представленной синаповой кислотой. Таким образом, это соединение представляет собой ацилированный синаповой кислотой гликозид кверцетина и

трех гексоз. Наши данные согласуются с литературными, так в экстрактах чернушки различных видов исследователями из Туниса, Италии, Боснии и Герцеговины, а также Чехии отмечено присутствие феруловой и синаповой кислот [5, 11, 15].

Для экстракта *N. damascena* на рис. 3 представлена хроматограмма с УФ-детектора при  $\lambda = 270$  нм, на которой проинтегрированы пики основных флавоноидных гликозидов. Анализ масс-спектров пики в режиме генерации отрицательных и положительных ионного тока позволил определить молекулярные массы и фрагменты основных соединений (табл. 2–4).

Пик с RT 16.1 мин соответствовал соединению с мол. м. 950 Д, с фрагментацией, аналогичной описанной для гликозидов кверцетина и четырех молекул гексоз в *N. sativa*. Вещества с временами удерживания 17.3, 22.5 и 22.9 мин имеют одинаковую мол. м. 934 Д и фрагментацию как гликозиды кверцетина, трех гексоз и одной рамнозы (рис. 2в). Для вещества с временем удерживания 18.4 мин и мол. м. 788 Д характерна фрагментация как для гликозидов кверцетина и трех гексоз в *N. sativa*. Соединения с временами удерживания 22.9 и 23.2 мин и мол. м. 964 Д имели масс-спектры аналогичные гликозиду кверцетина, трех гексоз и одной молекулы феруловой или глюкуроновой кислоты, как в экстракте *N. sativa*.

Пики с временами удерживания 17.3 и 17.7 мин (табл. 4) содержали вещества с одинаковой мол. м. 772 Д, и были предположительно идентифицированы как гликозиды кверцетина, двух гексоз и одной рамнозы, т. к. в режиме отрицательной ионизации были зарегистрированы ионы с  $m/z$  771 =

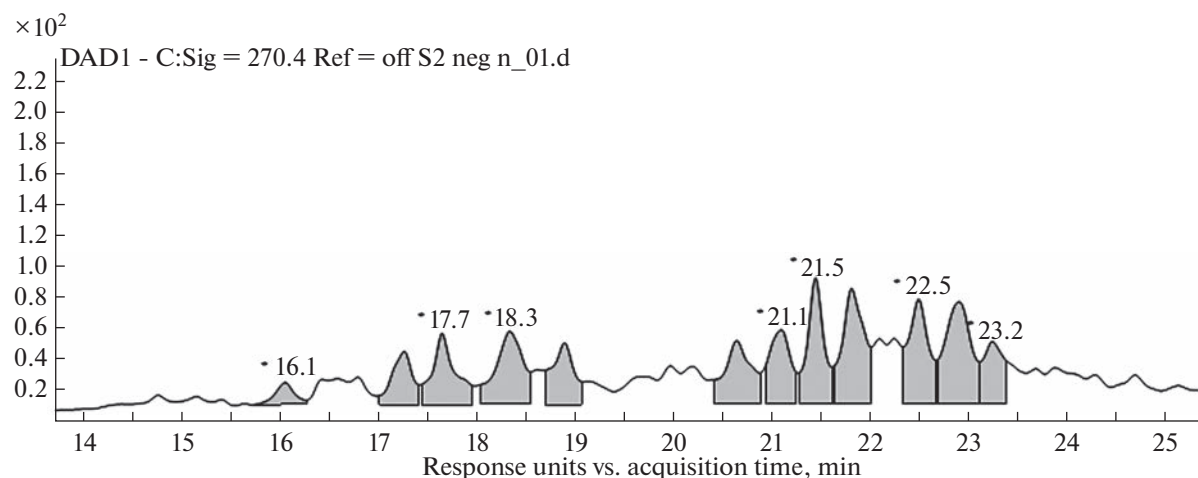


Рис. 3. УФ-хроматограмма экстракта листьев *Nigella damascena* L.

$= [M - H]^-$ , а в режиме положительной  $-m/z 795 = [M + Na]^+$ ,  $m/z 773 = [M + H]^+$ ,  $m/z 303 = [M + H-162-162-146]^+$ . Агликон соответствовал кверцетину ( $m/z 303$ ).

Соединения с временами удерживания 184 и 18.9 мин имели мол. м. 626 Д. В режиме отрица-

тельных ионов были зарегистрированы ионы с  $m/z 625 = [M - H]^-$ , в режиме положительных ионов  $-m/z 649 = [M + Na]^+$ ,  $m/z 627 = [M + H]^+$ ,  $m/z 465 = [M + H-162]^+$ ,  $m/z 303 = [M + H-162-162]^+$ . Агликон соответствовал кверцетину ( $m/z 303$ ) и можно предположить, что эти соединения — гликозиды кверцетина и двух гексоз.

Таблица 4. Флавоноидные гликозиды в экстракте листьев *Nigella damascena* L.

| RT, мин | Предполагаемая структура вещества                                  | мол. м., Д | Содержание, г/100 г сухого веса |
|---------|--|------------|---------------------------------|
| 16.1    | Гликозид кверцетина и 4 гексоз                                     | 950        | $0.04 \pm 0.001$                |
| 17.3    | Гликозид кверцетина, 3 гексоз и рамнозы                            | 934        |                                 |
|         | Гликозид кверцетина, 2 гексоз и рамнозы                            | 772        | $0.05 \pm 0.005$                |
| 17.7    | Гликозид кверцетина, 2 гексоз и рамнозы                            | 772        | $0.06 \pm 0.001$                |
| 18.4    | Гликозид кверцетина и 2 гексоз                                     | 626        |                                 |
|         | Гликозид кверцетина и 3 гексоз                                     | 788        | $0.09 \pm 0.002$                |
| 18.9    | Гликозид кверцетина и 2 гексоз                                     | 626        | $0.06 \pm 0.002$                |
| 20.7    | Гликозид кверцетина, 4 гексоз и рамнозы                            | 1096       | $0.08 \pm 0.002$                |
| 21.1    | Гликозид кверцетина, 3 гексоз и 2 рамноз                           | 1080       |                                 |
|         | Гликозид кверцетина, 4 гексоз и феруловой или глюкуроновой кислоты | 1126       | $0.09 \pm 0.001$                |
| 21.5    | Гликозид кверцетина, 3 гексоз и 2 рамноз                           | 1080       | $0.13 \pm 0.003$                |
| 21.8    | Гликозид кверцетина, 3 гексоз и 2 рамноз                           | 1080       | $0.16 \pm 0.004$                |
| 22.5    | Гликозид кверцетина, 3 гексоз и рамнозы                            | 934        | $0.13 \pm 0.002$                |
| 22.9    | Гликозид кверцетина, 3 гексоз и рамнозы                            | 934        |                                 |
|         | Гликозид кверцетина, 3 гексоз и феруловой или глюкуроновой кислоты | 964        | $0.17 \pm 0.001$                |
| 23.2    | Гликозид кверцетина, 3 гексоз и феруловой или глюкуроновой кислоты | 964        |                                 |
|         | Гликозид кверцетина, 3 гексоз и 2 рамноз                           | 1080       | $0.11 \pm 0.003$                |
|         | Сумма  |            | 1.17                            |

Примечание. Приведены средние значения для 3 биологических повторностей при уровне значимости  $P \leq 0.05$ .

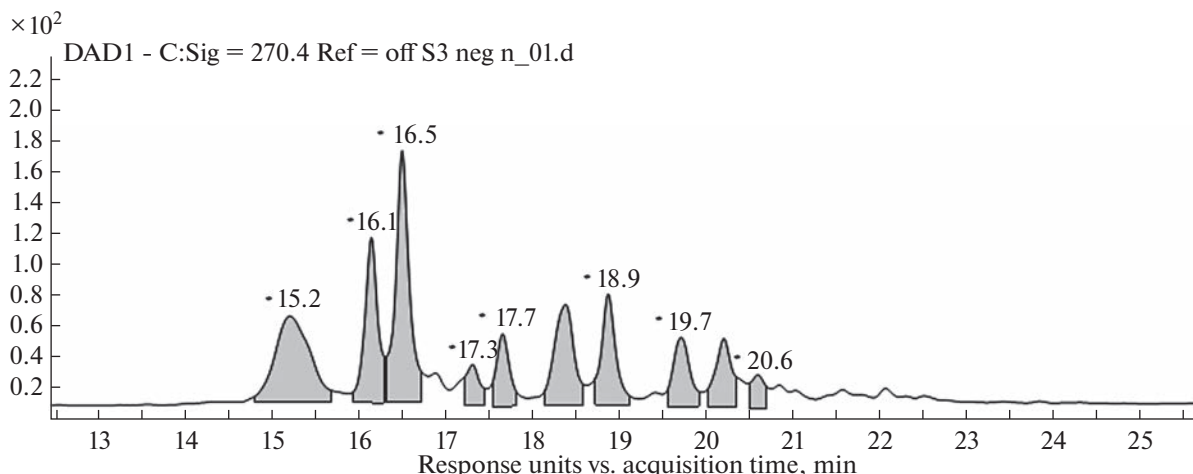


Рис. 4. УФ-хроматограмма экстракта листьев *Nigella orientalis* L.

Вещества с временами удерживания 21.1; 21.5 и 21.8 мин характеризовались одинаковой мол. м. 1080 Д, что подтверждается полученными в режиме отрицательной ионизации ионами с  $m/z$  1079 = = [M-H]<sup>-</sup> и  $m/z$  300 = [M-2H-162-162-162-146-146]<sup>-</sup>; в режиме положительных ионизации —  $m/z$  1081 = = [M + H]<sup>+</sup>,  $m/z$  465 = [M + H-162]<sup>+</sup>,  $m/z$  303 = [M + + H-162-162-162-146-146]<sup>+</sup>. Масс-спектр дочерних ионов в положительной ионизации содержал следующие ионы:  $m/z$  611 = [M + H-162-162-146]<sup>+</sup>,  $m/z$  449 = [M + H-162-162-162-146]<sup>+</sup>,  $m/z$  465 = [M + + H-162-162-146-146]<sup>+</sup>,  $m/z$  303 = [M + H-162-162-162-146-146]<sup>+</sup>. Ионы с  $m/z$  309 = [146 + 162 + H]<sup>+</sup> и  $m/z$  147 = [146 + H]<sup>+</sup> представляли собой появляющиеся при ионизации комбинации сахаров, входящих в состав гликозида. Агликон соответствует кверцетину. Предположительно эти вещества — гликозиды кверцетина, трех гексоз и двух рамноз.

Вещество с мол. м. 1096 Д имело время удерживания 20.7 мин. Присутствовали ионы с  $m/z$  1095 = [M-H]<sup>-</sup>,  $m/z$  300 = [M-2H-162-162-162-162-146]<sup>-</sup> в режиме отрицательной ионизации и  $m/z$  1119 = [M + Na]<sup>+</sup>,  $m/z$  1097 = [M + H]<sup>+</sup>,  $m/z$  303 = = [M + H-162-162-162-162-146]<sup>+</sup> в режиме положительной ионизации. Агликон соответствует кверцетину ( $m/z$  303). Масс-спектр дочерних ионов в положительной ионизации содержал следующие ионы:  $m/z$  465 = [M + H-162-162-162-146]<sup>+</sup>,  $m/z$  303 = [M + H-162-162-162-162-146]<sup>+</sup>. Ионы с  $m/z$  309 = [146 + 162 + H]<sup>+</sup>,  $m/z$  147 = [146 + H]<sup>+</sup> представляют собой появляющиеся при ионизации комбинации сахаров, входящих в состав гликозида. Таким образом, это соединение представляет собой гликозид кверцетина, четырех гексоз и одной рамнозы.

В масс-спектре вещества с временем удерживания 21.1 мин в режиме отрицательных ионов

присутствовали ионы с  $m/z$  1125 = [M-H]<sup>-</sup>,  $m/z$  300 = [M-2H-162-162-162-162-176]<sup>-</sup>, а в режиме положительных ионов —  $m/z$  1149 = [M + Na]<sup>+</sup>,  $m/z$  1127 = [M + H]<sup>+</sup>,  $m/z$  303 = [M + H-162-162-162-162-176]<sup>+</sup>, и соответственно, его молекулярная масса составляет 1126 Д. Агликоном является кверцетин. Масс-спектр дочерних ионов в положительной ионизации содержал следующие ионы:  $m/z$  664 = [M + Na-162-162-162]<sup>+</sup>,  $m/z$  465 = = [M + H-162-162-162-176]<sup>+</sup>,  $m/z$  303 = [M + H-162-162-162-162-176]<sup>+</sup>. Ионы с  $m/z$  339 = [176 + 162 + H]<sup>+</sup>,  $m/z$  501 = [162 + 162 + 176 + H]<sup>+</sup>;  $m/z$  177 = = [176 + H]<sup>+</sup> представляют собой появляющиеся при ионизации комбинации сахаров, входящих в состав гликозида. Потеря фрагмента с  $m/z$  176 соответствует либо глюкуроновой кислоте, либо ацильной группе, представленной феруловой кислотой. Поэтому данное соединение может являться гликозидом кверцетина, четырех гексоз и одной молекулы феруловой или глюкуроновой кислоты.

На рис. 4 представлена УФ-хроматограмма ( $\lambda = 270$  нм) основных флавоноидных гликозидов для экстракта листьев *N. orientalis*. Анализ масс-спектров пиков в режиме генерации отрицательных и положительных ионов на хроматограммах общего ионного тока позволил определить молекулярные массы и фрагменты основных соединений (табл. 3, 5).

Вещества с временами удерживания 15.2, 16.1 и 16.5 мин имели мол. м. 788 Д и фрагментацию аналогичную для соединений с такой же массой, обнаруженных в *N. sativa* и *N. damascene*. Предположительно эти соединения — гликозиды кверцетина и трех молекул гексоз. Вещества с одинаковой мол. м. 626 Д и временами удерживания 18.4 и 18.9 мин являются гликозидами кверцетина и двух гексоз с масс-спектрами аналогичными для такого же вещества в *N. damascene*.

**Таблица 5.** Флавоноидные гликозиды в экстракте листьев *Nigella orientalis* L.

| RT, мин | Предполагаемая структура вещества                 | мол. м., Д | Содержание, г/100 г сухого веса |
|---------|---|------------|---------------------------------|
| 15.2    | Гликозид кверцетина и 3 гексоз                    | 788        | 0.27 ± 0.005                    |
| 16.1    | Гликозид кверцетина и 3 гексоз                    | 788        | 0.19 ± 0.001                    |
| 16.5    | Гликозид кверцетина и 3 гексоз                    | 788        | 0.31 ± 0.01                     |
| 17.3    | Гликозид кверцетина, 3 гексоз и малоновой кислоты | 874        | 0.04 ± 0.003                    |
| 17.7    | Гликозид кверцетина, 3 гексоз и малоновой кислоты | 874        | 0.09 ± 0.002                    |
| 18.4    | Гликозид кверцетина и 2 гексоз                    | 626        | 0.15 ± 0.005                    |
| 18.9    | Гликозид кверцетина и 2 гексоз                    | 626        | 0.12 ± 0.003                    |
| 19.7    | Гликозид кверцетина                               | 712        | 0.08 ± 0.007                    |
| 20.2    | Гликозид кверцетина                               | 712        | 0.07 ± 0.002                    |
| 20.6    | Гликозид кемпферола и 2 гексоз                    | 610        | 0.02 ± 0.001                    |
| Сумма   |   |            | 1.07                            |

Примечание. Приведены средние значения для 3 биологических повторностей при уровне значимости  $P \leq 0.05$ .

В пиках с временами удерживания 17.3 и 17.7 мин присутствовали вещества с одинаковой мол. м. 874 Д, что подтверждается обнаруженными ионами с  $m/z$  873 = [M–H]<sup>-</sup> (режим отрицательной ионизации) и  $m/z$  875 = [M + H]<sup>+</sup> (режим положительных ионов). Масс-спектр дочерних ионов в положительной ионизации содержал следующие ионы:  $m/z$  713 = [M + H-162]<sup>+</sup>,  $m/z$  551 = [M + H-162-162]<sup>+</sup>;  $m/z$  465 = [M + H-162-162-86]<sup>+</sup>;  $m/z$  303 = [M + H-162-162-162-86]<sup>+</sup>. Агликон ( $m/z$  303) соответствует кверцетину. Потеря фрагмента с  $m/z$  86 соответствует ацильной группе, представленной малоновой кислотой [19]. Таким образом, это соединение представляет собой гликозид кверцетина, трех гексоз и молекулы малоновой кислоты. Соединения с одинаковой мол. м. 712 Д имели времена удерживания 19.7 и 20.2 мин. В режиме положительной ионизации зарегистрированы ионы с  $m/z$  713 = [M + H]<sup>+</sup>,  $m/z$  735 = [M + Na]<sup>+</sup>,  $m/z$  751 = [M + K]<sup>+</sup>. Масс-спектр дочерних ионов в положительной ионизации содержал ион агликона кверцетина:  $m/z$  303 = [M + H-сахара]<sup>+</sup>. Это соединение представляет собой гликозид кверцетина.

В масс-спектре вещества с мол. м. 610 Д и временем удерживания 20.6 мин в режиме отрицательной ионизации присутствовали ионы с  $m/z$  609 = [M–H]<sup>-</sup>, в режиме положительной ионизации –  $m/z$  633 = [M + Na]<sup>+</sup>,  $m/z$  611 = [M + H]<sup>+</sup>. Масс-спектр дочерних ионов в положительной ионизации содержал следующие ионы:  $m/z$  449 = [M + H-162]<sup>+</sup>;  $m/z$  287 = [M + H-162-162]<sup>+</sup> (рис. 2г). Агликон с  $m/z$  287 соответствует кемпферолу. Соединение является гликозидом кемпферола и двух гексоз.

Суммарное количество флавоноидных гликозидов в экстрактах листьев *N. sativa* был в 4 раза выше, чем в экстрактах двух других видов чернушки (табл. 2, 4, 5). При этом следует отметить, что в листьях всех исследованных видов чернушки преобладали гликозиды кверцетина, что также подтверждается суммарным содержанием агликона кверцетина в гидролизованных экстрактах. Несмотря на то, что содержание кемпферола в образцах после гидролиза всего в 1.40–1.97 раза меньше (табл. 1), чем кверцетина, нам удалось обнаружить на хроматограммах лишь два его гликозида. Учитывая наблюдаемое разнообразие состава гликозидов кверцетина, можно предположить, что растения рода чернушка также способны синтезировать и накапливать различные по составу и строению производные кемпферола. По-видимому, из-за возможного разнообразия соединений кемпферола, его более низкого содержания и анализа грубого экстракта без предварительных фракционирования, очистки и концентрирования, мы не смогли идентифицировать на хроматограммах и в масс-спектрах все гликозиды кемпферола.

Таким образом, установлено что листья *N. sativa* в условиях Центральной Беларуси имеют наиболее богатый состав флавоноидных гликозидов по отношению к другим изучаемым видам. По качественному составу флавоноидных гликозидов вид *N. damascene* наиболее близок к *N. sativa*, тогда как по общему содержанию этой группы соединений – к *N. orientalis*. Стоит упомянуть, что виды *N. sativa* и *N. damascene* имеют наибольшее фенотипическое сходство и более устойчивы к условиям произрастания в Беларуси (на основании 9-летних полевых экспериментов на территории Цен-

трального ботанического сада Национальной академии наук Беларуси). Отмечено, что вид *N. orientalis* отличается внешне и более требователен к условиям культивирования. Полевые испытания изучаемых видов чернушки показали, что *N. sativa* и *N. damascene* стабильно дают жизнеспособные семена, всхожесть которых колеблется в пределах 60–80%, в то время как семена *N. orientalis* имели всхожесть 20–45% и были отмечены 2 года, когда семена не успели вызреть. Также следует отметить различия в габитусе растений: виды *N. sativa* и *N. damascene* отличаются большей высотой и кустистостью с количеством побегов первого порядка 5–9 шт., тогда как вид *N. orientalis* формировал 2–3 побега первого порядка. Было установлено, что в листьях *N. orientalis* разнообразие флавоноидных гликозидов меньше, при отсутствии высокомолекулярных и ацилированных форм. Известно [20], что гликозилирование и ацилирование позволяет улучшать растворимость, химическую стабильность флавоноидов, их участие в активном мембранным транспорте и защите от УФ-излучения, повышая способность к его поглощению и нейтрализации АФК. Возможно отсутствие ацилированных производных и меньшее разнообразие флавоноидных гликозидов оказывается на низкой устойчивости *N. orientalis* к абиотическим факторам и снижает его адаптационный потенциал. Опираясь на данные по мультилокусному ДНК-маркированию 3 видов рода *Nigella* [21] можно предположить генетическую обусловленность состава флавоноидных гликозидов у видов этого рода. Так, вид *N. orientalis* занимает отдельный кластер на дендрограмме, отражающей степень генетического сходства (на основе 235 маркеров (RAPD и ISSR)), в то время как виды *N. sativa* и *N. damascene* относятся к одному кластеру.

Работа выполнена при финансовой поддержке задания 06.02 Государственной программы научных исследований “Природные ресурсы и окружающая среда”, подпрограмма “Биоразнообразие, биоресурсы, экология” (2021–2025).

Авторы заявляют об отсутствии конфликта интересов.

Настоящая статья не содержит каких-либо исследований с участием людей и животных в качестве объектов.

Авторы В.Н Решетников, Е.В. Спиридович и С.Н. Шиш выдвинули и разработали схему эксперимента. Образцы для анализа были подготовлены С.Н. Шиш. Авторы П.С. Шабуня и С.А. Фатыхова провели ВЭЖХ-МС экстрактов на содержание флавоноидных гликозидов, а также расчеты содержания веществ с описанием их идентификации. Авторы С.Н. Шиш, П.С. Шабуня и Е.В. Спиридович участвовали в написании текста статьи. Все авторы участвовали в обсуждении и изложении результатов.

## СПИСОК ЛИТЕРАТУРЫ

1. Дудченко Л.Г., Козьяков А.С., Кривенко В.В. Пряно-ароматические и пряно-вкусовые растения. Справочник. Киев: Наукова думка. 1989. 304 с.
2. Прохоров В.Н. Нигелла – ценная хозяйствственно-полезная культура (обзор литературы) // Овощи России. 2021. Р. 111.  
<https://doi.org/10.18619/2072-9146-2021-4-111-123>
3. Datta A.K., Saha A. Cytomorphological studies and seed protein characterization of *Nigella sativa* L. and *Nigella damascena* L. // Cytologia (Tokyo). 2003. V. 68. P. 51.
4. Benazzouz-Smail L., Achat S., Brahmi F., Bachir-Bey M., Arab R., Lorenzo J.M., Benbouriche A., Boudiab K., Hauchard D., Boulekbache-Makhlof L., Madani K. Biological properties, phenolic profile, and botanical aspect of *Nigella sativa* L. and *Nigella damascena* L. seeds // Molecules. 2023. V. 28. P. 571.  
<https://doi.org/10.3390/molecules28020571>
5. Bourgou S., Riadh K., Amor B., Ines S., Hanen F., Brahim M. Phenolic composition and biological activities of Tunisian *Nigella sativa* L. shoots and roots // C. R. Biol. 2008. V. 331. P. 48.  
<https://doi.org/10.1016/j.crvi.2007.11.001>
6. Исакова А.Л., Прохоров В.Н., Исаков А.В. Нигелла в Беларуси. Горки: БГСХА, 2021. 118 с.
7. Kokoska L., Havlik J., Valterova I., Nepovim A., Rada V., Vanek T. Chemical composition of the essential oil of *Nigella orientalis* L. seeds // Flavour Fragr. J. 2005. V. 20. P. 419.  
<https://doi.org/10.1002/ffj.1449>
8. Kökdil G., Tamer L., Ercan B., Celik M., Atik U. Effects of *Nigella orientalis* and *N. segetalis* fixed oils on blood biochemistry in rats // Phytother. Res. 2006. V. 20. P. 71.  
<https://doi.org/10.1002/ptr.1809>
9. Ait Eldjoudi D., Ruiz-Fernandez C., González-Rodríguez M., Ait Attmane S., Cordero-Barreal A., Farrag Y., Pino J., Sineiro J., Lago F., Conde-Aranda J., Khettal B., Gualillo O. Analgesic and antiinflammatory effects of *Nigella orientalis* L. seeds fixed oil: pharmacological potentials and molecular mechanisms // Phytother. Res. 2022. V. 36. P. 1372.  
<https://doi.org/10.1002/ptr.7400>
10. Gueffa A., Gonzalez-Serrano D.J., Christodoulou M.C., Orellana-Palacios J.C., Lopez S., Ortega M., Ould-moumna A., Zohra Kiari F., Ioannou G.D., Kapnissi-Christodoulou C.P., Moreno A., Hadidi M. Phenolics from defatted black cumin seeds (*Nigella sativa* L.): ultrasound-assisted extraction optimization, comparison, and antioxidant activity // Biomolecules. 2022. V. 12. P. 1311.  
<https://doi.org/10.3390/biom12091311>
11. Topcagic A., Zeljkovic S.C., Karalija E., Galijasevic S., Sofic E. Evaluation of phenolic profile, enzyme inhibitory and antimicrobial activities of *Nigella sativa* L. seed extracts // Bosn. J. Basic Med. Sci. 2017. V. 17. P. 286.  
<https://doi.org/10.17305/bjbm.2017.2049>
12. Akram Khan M., Afzal M. Chemical composition of *Nigella sativa* Linn: part 2 recent advances // Inflammopharmacology. 2016. V. 24. P. 67.  
<https://doi.org/10.1007/s10787-016-0262-7>

13. Hameeda S., Imrana A., un Nisaa M., Arshada M.S., Saeeda F., Umair Arshada M., Khan M.A. Characterization of extracted phenolics from black cumin (*Nigella sativa* linn), coriander seed (*Coriandrum sativum* L.), and fenugreek seed (*Trigonella foenum-graecum*) // Int. J. Food Prop. 2019. V. 22. P. 714.  
<https://doi.org/10.1080/10942912.2019.1599390>
14. Шии С.Н., Шутова А.Г., Спиридович Е.В., Шабуня П.С., Фатыхова С.А. Растения рода *Nigella* как источник ценных биологических веществ для биотехнологии // Материалы Международной научной конференции “Настоящее и будущее биотехнологии растений”, г. Минск, 2023. С. 98.
15. Ansary J., Regolo L., Machi M., Salinari A., Cianciosi D. Evaluation of the *in vitro* bioaccessibility of phenolic compounds of black cumin (BARI-1 cumin) methanolic extract // eFood. 2022. V. 3:e15.  
<https://doi.org/10.1002/efd2.15>
16. Parveen A., Farooq M.A., Kyunn W.W. A new oleanane type saponin from the aerial parts of *Nigella sativa* with anti-oxidant and anti-diabetic potential // Molecules. 2020. V. 25. P. 2171.  
<https://doi.org/10.3390/molecules25092171>
17. Dalli M., Bekkouch O., Azizi S., Azghar A., Gseyray N., Kim B. *Nigella sativa* L. phytochemistry and pharmacological activities: a review (2019–2021) // Biomolecules. 2022. V. 12. P. 20.  
<https://doi.org/10.3390/biom12010020>
18. Liu Y.M., Liu Q.H., Chen B.Q. A new flavonol glycoside from the seeds of *Nigella glandulifera* // Nat. Prod. Res. 2011. V. 25. P. 1334.  
<https://doi.org/10.1080/14786419.2010.534470>
19. Pinheiro P.F., Justino G.C. Structural analysis of flavonoids and related compounds – a review of spectroscopic applications // Phytochemicals – a global perspective of their role in nutrition and health / Ed. V. Rao. InTech. 2012. P. 33.  
<https://doi.org/10.5772/29152>
20. Alseekh S., Perez de Souza L., Benina M., Fernie A.R. The style and substance of plant flavonoid decoration; towards defining both structure and function // Phytochem. 2020. V. 174. P. 112347.  
<https://doi.org/10.1016/j.phytochem.2020.112347>
21. Юхимук А.Н., Тхань Л.Н., Спиридович Е.В. Молекулярно-генетический анализ некоторых видов рода чернушка (*Nigella* L.) // Сборник материалов II международной научно–практической конференции “Биотехнология: достижения и перспективы развития”. Минск. 2017. С. 53.